

# Вихревые состояния в антиферромагнитных кристаллах

© А. Богданов, А. Шестаков

Донецкий физико-технический институт Академии наук Украины,  
340114 Донецк, Украина

(Поступила в Редакцию 3 ноября 1997 г.)

Показано, что в легкоосных и кубических антиферромагнетиках без центра инверсии могут существовать аксиально-симметричные двумерные неоднородные состояния в виде двумерных пространственно-модулированных структур (решеток магнитных вихрей) и уединенных двумерных структур (вихрей). Численным решением дифференциальных уравнений определены структура и равновесные размеры решеток и вихрей.

Как известно, в магнетиках без центра инверсии существуют специфические (симметрично обусловленные) обменно-релятивистские взаимодействия, которые в энергии системы описываются членами, линейными по первым пространственным производным.

В [1] такие инварианты были использованы для обоснования термодинамической устойчивости геликоидальных структур в магнетиках без центра инверсии. В отличие от распространенных обменных спиралей [2,3] рассмотренные в [1] модулированные структуры имели большой период и определенное направление вращения  $M$  (киральность).

К настоящему времени такие модулированные структуры открыты в ряде кубических гелимагнетиков [4–13] и в других кристаллах без центра инверсии [14–18], в магнитных сверхрешетках [19,20] и ряде других систем [2,3]. Теоретические исследования геликоидальных структур, связанных с взаимодействием Дзялошинского, проведены в [21–28].

В [29], используя простое модельное представление, удалось показать, что в магнетиках без центра инверсии наряду с одномерными модулированными структурами (геликоидами) может существовать система изолированных вихрей. Размер этих вихрей пропорционален энергии взаимодействия Дзялошинского, т.е. в регулярном магнетике такие вихри коллапсируют. Было также показано, что в области существования модулированных структур в определенном диапазоне полей вихревые состояния термодинамически устойчивы. В [29,30] были изучены особенности вихревых и геликоидальных структур в легкоосных ферро- и антиферромагнетиках.

Систематическое теоретическое исследование изолированных и взаимодействующих вихрей в легкоосных ферромагнетиках без центра инверсии проведено в [31,32]. Численным решением дифференциальных уравнений, а также аналитическими методами удалось определить равновесные параметры изолированных вихрей и вихревых решеток, границы существования локализованных состояний и модулированных фаз. В [33] вычислена сила взаимодействия между двумя уединенными вихревыми линиями. Работа [34] посвящена исследованию вихревых состояний в кубических гелимагнетиках, а в [35] изучалось влияние анизотропии в базисной плоскости на устойчивость вихревых состояний.

В данной работе исследованы особенности вихревых состояний в легкоосных и кубических антиферромагнетиках без центра инверсии.

## Одноосные антиферромагнетики

Для двухподрешеточного антиферромагнетика с взаимодействием Дзялошинского неравновесный термодинамический потенциал с точностью до членов, квадратичных по компонентам вектора суммарной намагниченности  $\mathbf{m} = (\mathbf{M}_1 + \mathbf{M}_2)/2M_0$  и вектора антиферромагнетизма  $\mathbf{l} = (\mathbf{M}_1 - \mathbf{M}_2)/2M_0$  ( $M_i$  — намагниченность  $i$ -й подрешетки,  $M_0 = |\mathbf{M}_i|$ ), можно записать в виде

$$W = \int w dV = \int \left[ A(\partial l / \partial x_i)^2 + A'(\partial l / \partial x_i)^2 + w_0 - w_d \right] dV, \quad (1)$$

где  $A, A'$  — константы неоднородного обмена,  $w_0$  — однородная часть энергии,  $w_d$  содержит инварианты, линейные по первым пространственным производным.

Однородную часть энергии  $w_0$  для исследуемых антиферромагнетиков запишем в следующем стандартном виде [36,37]:

$$w_0 = M_0^2 [2\lambda m^2 - 2\mathbf{Hm}/M_0 - \beta l_z^2], \quad (2)$$

где  $\lambda$  — константа межподрешеточного обменного взаимодействия,  $\beta$  — константа одноосной анизотропии второго порядка,  $\mathbf{H}$  — магнитное поле. Обычно  $\lambda \gg \beta$ . Кроме того, мы ограничиваемся случаем низких температур, когда можно считать  $m^2 + l^2 = 1$ ,  $ml = 0$  [37].

При  $\beta > 0$  ось  $\mathbf{OZ}$  является осью легкого намагничивания. Как хорошо известно (см., например, [37]), в этом случае при  $H_z = H_{sf} = M_0\sqrt{2\lambda\beta}$ ,  $H_x = H_y = 0$  имеет место фазовый переход первого рода из антиферромагнитной фазы ( $\mathbf{l} \parallel \mathbf{OZ}$ ) в спин-флоп-фазу ( $\mathbf{l} \perp \mathbf{OZ}$ ). Ограничиваясь случаем  $\mathbf{H} \parallel \mathbf{OZ}$  и минимизируя (1) по  $m$ , получим

$$m = h \frac{H_{sf}}{2\lambda M_0}, \quad (3)$$

$h = H/H_{sf}$ . В окрестности спин-флоп-перехода  $m \ll 1$ , поскольку  $H_{sf} = M_0\sqrt{2\lambda\beta} \ll 2\lambda M_0$ . Тогда, считая

$|l| = 1$ , можно получить следующее выражение для  $w_0$  [29]:

$$w_0 = w_0^0 + M_0^2 \beta |1 - \beta^2| \sin^2(\theta - \theta_0), \quad (4)$$

где

$$\begin{aligned} w_0^0 &= \beta M_0^2, & \theta_0 &= 0, & h < 1, \\ w_0^0 &= \beta M_0^2 h^2, & \theta_0 &= \pi/2, & h > 1. \end{aligned}$$

Здесь  $\theta$  — угол между  $\mathbf{l}$  и  $\mathbf{OZ}$ ,  $h^2 = \frac{H^2}{2\beta\lambda M_0^2}$ ,  $w_0^0$  — плотность энергии основного состояния.

Для легкоосных антиферромагнетиков выражения для  $w_d$  получены в [29] (в приближении  $m \ll l$ ). В частности, для антиферромагнетиков, относящихся к кристаллографическим классам  $C_{mv}$  и  $D_n$ , выражения для  $w_d$  имеют вид

$$w_d = DM_0^2 \left( l_z \frac{\partial l_x}{x} - l_x \frac{\partial l_z}{x} + l_z \frac{\partial l_y}{y} - l_y \frac{\partial l_z}{y} \right) \text{ для } C_{mv}, \quad (5)$$

$$\begin{aligned} w_d = DM_0^2 \left( l_z \frac{\partial l_x}{y} - l_x \frac{\partial l_z}{y} + l_z \frac{\partial l_y}{x} - l_y \frac{\partial l_z}{x} \right) \\ + D'M_0^2 \left( l_x \frac{\partial l_y}{z} - l_y \frac{\partial l_x}{z} \right) \text{ для } D_n. \quad (6) \end{aligned}$$

Последний член в (6) может привести к образованию модулированных структур, распространяющихся вдоль легкой оси  $\mathbf{OZ}$ . Поскольку в данной работе рассматриваются только состояния, однородные вдоль  $\mathbf{OZ}$ , будем считать, что  $D'$  тождественно равно нулю. Случай  $C_n$ -симметрии, когда  $w_0^0$  представляет собой линейную комбинацию (5) и (6), не дает качественно новых результатов и поэтому исключен из рассмотрения.

Как было показано в [29], наличие таких инвариантов в термодинамическом потенциале с необходимостью приводит к образованию неоднородных состояний в окрестности спин-флоп-перехода. Границы устойчивости таких состояний можно определить, рассматривая энергию плоской доменной границы, разделяющей состояния с противоположными направлениями  $\mathbf{l}$  ( $180^\circ$  доменная граница). Результаты расчета [29] показали, что неоднородные пространственно-модулированные состояния в антиферромагнетиках термодинамически устойчивы при

$$h_1 < h < h_2, \quad \text{где } h_{1,2}^2 = 1 \mp \nu^2, \quad \nu^2 = \frac{\pi D^2}{16A\beta}. \quad (7)$$

Отметим, что, поскольку коэффициент  $D$  в (2), (3) имеет обменно-релятивистское происхождение [38] ( $D \sim \sqrt{A\beta}$ ), нижнее критическое поле  $h_1$  для некоторых кристаллов может обратиться в нуль, т.е. для таких кристаллов пространственно-модулированная структура окажется энергетически выгодной, начиная с  $H = 0$ . В то же время верхнее критическое поле будет всегда ниже обменных полей ( $h_2 \ll 2\lambda M_0/H_{sf}$ ). Такая ситуация, например, имеет место в ромбоэдрическом легкоосном антиферромагнетике без центров инверсии

$\text{BiFeO}_2$  (пространственная группа  $C_{3v}^6$ , температура Нелеля  $T_N = 673$  К [39]). В отсутствие поля и в слабых полях в нем наблюдалась модулированная структура. В достаточно высоком поле обнаружен фазовый переход из циклоидной пространственно-модулированной фазы в однородную антиферромагнитную фазу, индуцируемый магнитным полем и сопровождающийся сильным изменением электрической поляризации [40].

Перейдем к анализу двумерных пространственно-модулированных состояний. Рассмотрим изолированный вихрь, ось которого направлена вдоль  $\mathbf{OZ}$ , в центре вихря вектор антиферромагнетизма  $\mathbf{l}$  параллелен приложенному магнитному полю  $\mathbf{H}$ . Введем для вектора  $\mathbf{l}$  сферические координаты, а для пространственных переменных — цилиндрические:

$$\mathbf{l} = (\sin \theta \cos \psi, \sin \theta \sin \psi, \cos \theta),$$

$$\mathbf{r} = (r \cos \varphi, r \sin \varphi, z).$$

В этих переменных выражения (2), (3) для  $C_{mv}$ -симметрии примут вид

$$\begin{aligned} w_d = \cos(\varphi - \psi) \left[ \frac{\partial \theta}{\partial r} + \frac{1}{r} \sin \theta \cos \theta \frac{\partial \psi}{\partial \varphi} \right] \\ + \sin(\varphi - \psi) \left[ \sin \theta \cos \theta \frac{\partial \psi}{\partial r} - \frac{1}{r} \frac{\partial \theta}{\partial \varphi} \right], \quad (8) \end{aligned}$$

а для  $D_n$ -симметрии

$$\begin{aligned} w_d = \sin(\varphi - \psi) \left[ \frac{\partial \theta}{\partial r} + \frac{1}{r} \sin \theta \cos \theta \frac{\partial \psi}{\partial \varphi} \right] \\ + \cos(\varphi - \psi) \left[ \sin \theta \cos \theta \frac{\partial \psi}{\partial r} - \frac{1}{r} \frac{\partial \theta}{\partial \varphi} \right]. \quad (9) \end{aligned}$$

Таким образом, энергию двухподрешеточного антиферромагнетика с взаимодействием Дзялошинского можно записать в виде

$$\begin{aligned} E = \frac{W - W_0^0}{2\pi L A M_0^2} = \int \left[ \left( \frac{\partial \theta}{\partial \rho} \right)^2 + \frac{\sin^2 \theta}{\rho^2} \right. \\ \left. - 2\pi \left( \frac{d\theta}{d\rho} + \frac{\sin \theta \cos \theta}{\rho} \right) \right. \\ \left. + 4\pi^2 \frac{A\beta}{D^2} |1 - h^2| \sin^2(\theta - \theta_0) \right] \rho d\rho, \quad (10) \end{aligned}$$

$$\rho = r/r_0, \quad r_0 = \frac{2\pi A}{D}. \quad (11)$$

Здесь  $L$  — длина вихря вдоль  $\mathbf{OZ}$ ,  $r_0$  — период геликоидальной структуры при  $h = 1$ .

Уравнение Эйлера для функционала (1) имеет вид

$$\begin{aligned} \frac{d^2 \theta}{d\rho^2} + \frac{1}{\rho} \frac{d\theta}{d\rho} - \frac{\sin 2\theta}{2\rho^2} + 2\pi \frac{\sin^2 \theta}{\rho} \\ - \cos 2\theta_0 2\pi^2 \frac{A\beta}{D^2} |1 - h^2| \sin 2\theta = 0. \quad (12) \end{aligned}$$

Решения уравнения (10) с граничными условиями

$$\theta(0) = 0, \quad \theta(R) = \pi \quad (13)$$

описывают аксиальную структуру (вихрь) радиуса  $R$ . Уравнение (10) не удается решить аналитически, и поэтому были использованы численные методы. Характер решений существенным образом зависит от величины приложенного магнитного поля, а именно от того, лежит ли  $h$  в интервале  $[h_1, h_2]$  или вне этого интервала.

При  $h_1 < h < h_2$  исследуемая краевая задача имеет решения только для конечных радиусов  $R$ , а при  $h < h_1$  или  $h > h_2$  — как для конечных  $R$ , так и для  $R = \infty$ . При этом во втором случае ( $h \notin [h_1, h_2]$ ) ни одно из решений с конечным радиусом не соответствует минимуму плотности энергии (см. далее), т.е. такие решения не являются устойчивыми.

В дальнейшем вместо  $h$  удобно использовать параметр

$$B^* = -\cos 2\theta_0 \frac{4}{\pi} \sqrt{\frac{A\beta}{D^2} |1 - h^2|}. \quad (14)$$

При  $h = h_{1,2}$   $B^* = \mp 1$ , при  $h < h_1$   $B^* < -1$ , а при  $h > h_2$   $B^* > 1$ .

Рассмотрим более подробно решения в каждом из этих случаев.

1)  $h_1 < h < h_2$  ( $-1 < B^* < 1$ ). Поскольку во всей данной области энергия доменной границы отрицательна [29], здесь должны реализоваться структуры с максимально возможным распределением неоднородности в объеме образца. Примером такого состояния может служить геликоид [1]. Другим примером является решетка магнитных вихрей, термодинамическая стабильность которой доказана для магнетиков без центра инверсии в определенном диапазоне магнитных полей [32].

Как уже отмечалось выше, стабилизация двумерных модулированных структур связана с наличием в энергии магнетика инвариантов, линейных по первым пространственным производным. Данные члены обеспечивают понижение энергии системы только при определенном направлении изменения параметров порядка. В частности, в случае одноосного антиферромагнетика с взаимодействием Дзялошинского знак параметра  $D$  (2) определяет энергетически выгодное направление вращения вектора  $\mathbf{l}$ . Поэтому среди различных решеток аксиальных структур в антиферромагнетиках обеспечивают понижение энергии системы (по сравнению с однородным состоянием) только те решетки, в которых сохраняется заданное направление вращения вектора антиферромагнетизма. Очевидно, этому условию удовлетворяют решетки, в центре элементарных ячеек которых вектор  $\mathbf{l}$  параллелен  $\mathbf{OZ}$ , а на границе — антипараллелен. Будем называть такие структуры  $\pi$ -решетками.

Равновесные состояния двумерных решеток в антиферромагнетиках определяются решением системы дифференциальных уравнений для  $\theta(x, y)$  и  $\psi(x, y)$ , минимизирующих функционал (1). Такую задачу сложно решить даже численным методом. Существенного упрощения задачи можно достичь, используя приближение

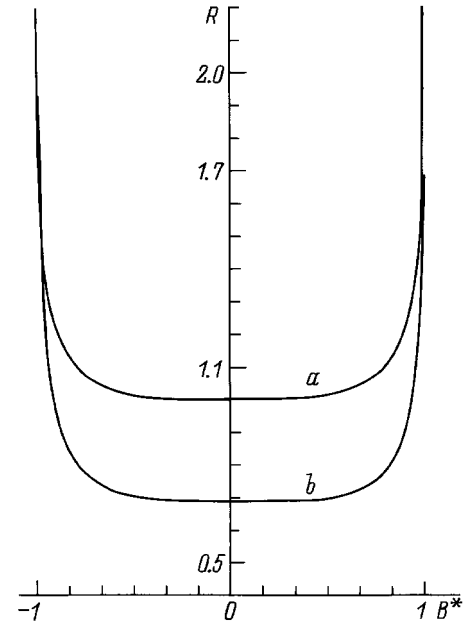


Рис. 1. Зависимости периодов геликоидальной структуры (а) и вихревой решетки (b) от параметра  $B^*$ .

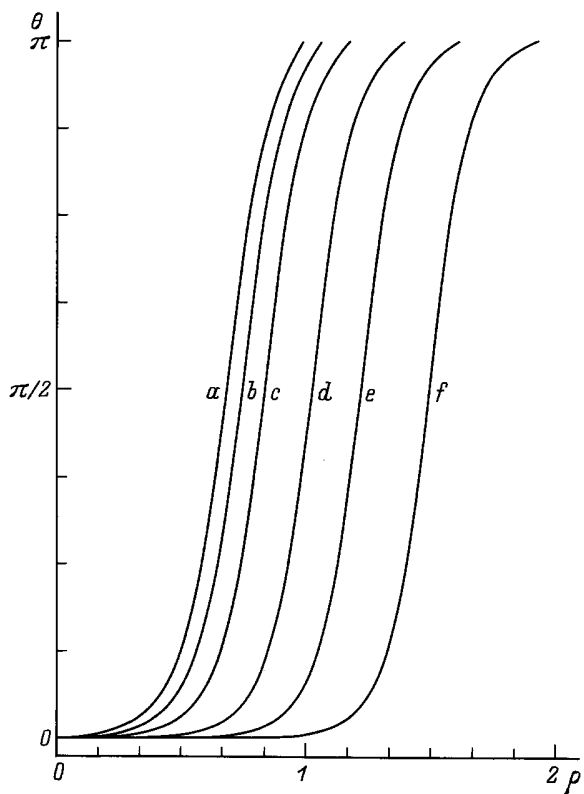
круговых ячеек [32,41]. В рамках данного приближения элементарная ячейка решетки с гексагональным (или квадратным) сечением заменяется круговым цилиндром равного объема. Соответственно граничные условия для  $\pi$ -решеток заменяются круговыми — выражением (11).

В рамках данного приближения задача о расчете равновесной структуры решеток восстанавливает аксиальную симметрию и сводится к интегрированию уравнения (10) с граничными условиями (11) с последующей минимизацией

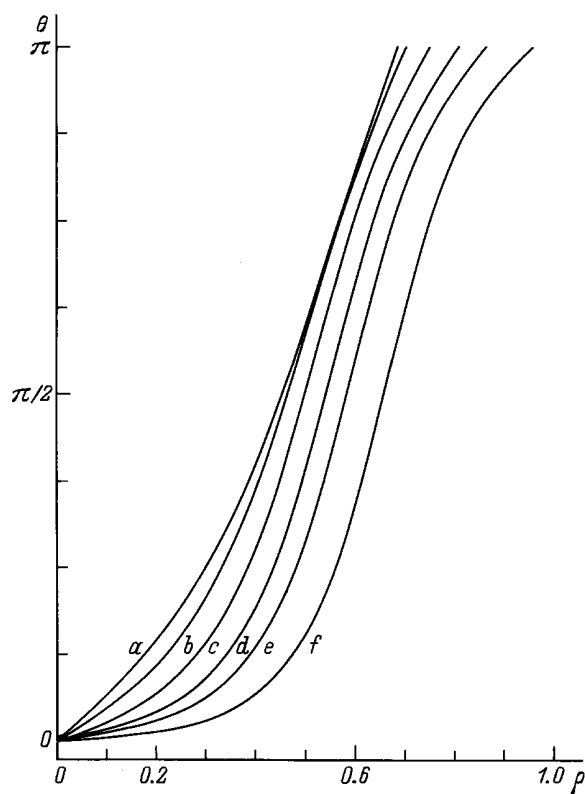
$$F = \frac{E}{\pi R_2} \quad (15)$$

по  $R$  (энергия  $E$  задается выражением (10)).

Расчет показал, что во всей области  $h_1 < h < h_2$  ( $-1 < B^* < 1$ ) плотность энергии (15) имеет минимум при конечных размерах ячейки  $R$ . На рис. 1 показаны зависимости равновесных размеров ячеек и периода геликоидальной структуры в зависимости от параметра  $B^*$  (14). В широком диапазоне значений  $-1 < B^* < 1$  равновесные периоды решеток слабо зависят от поля, но начинают неограниченно возрастать с приближением  $B^*$  к  $\pm 1$  ( $h \rightarrow h_{1,2}$ ). На рис. 2–5 представлены эволюции равновесных структур элементарных ячеек с ростом магнитного поля в  $\pi$ -решетках. В окрестности нижнего критического поля  $h_1$  ( $B^* \approx -1$ ) неоднородности в распределении  $\mathbf{l}$  для  $\pi$ -решеток локализуются в узкой переходной области. Это легко понять, если вспомнить о том, что в магнитном поле  $h < 1$  ( $B^* < 0$ ) состояния с  $\theta = \pi/2$  обладают большей энергией, чем состояния с  $\theta = 0, \pi$ . В  $\pi$ -решетках состояния с  $\theta = \pi/2$  реализуются внутри ячеек. Именно в области состояний, близких  $\pi/2$ , локализуются неоднородности в решетках.



**Рис. 2.** Равновесные структуры элементарных ячеек решетки магнитных вихрей при  $B^* = -0.91$  (a),  $-0.93$  (b),  $-0.95$  (c),  $-0.97$  (d),  $-0.98$  (e),  $-0.99$  (f).



**Рис. 3.** Равновесные структуры элементарных ячеек решетки магнитных вихрей при  $B^* = 0$  (a),  $-0.5$  (b),  $-0.7$  (c),  $-0.8$  (d),  $-0.85$  (e),  $-0.9$  (f).

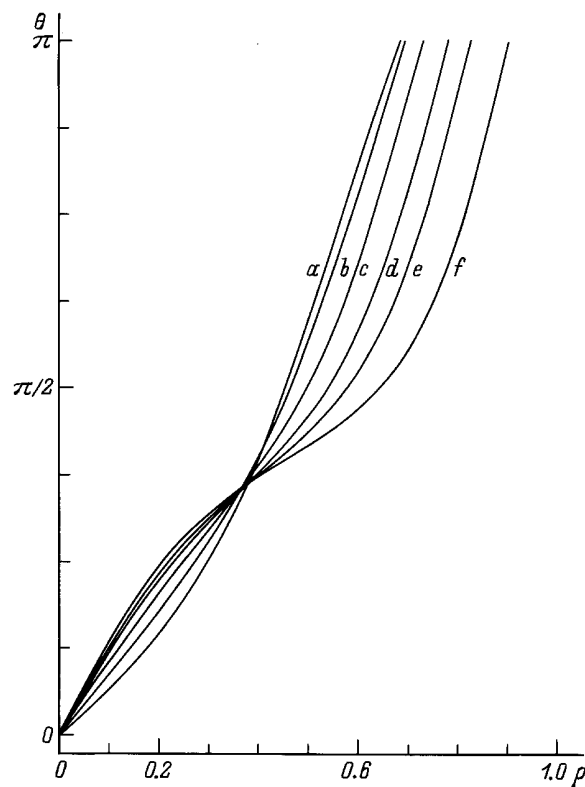
В противоположном предельном случае вблизи верхнего критического поля  $h_2$  ( $B^* \approx 1$ ) неоднородности в распределении **I** для  $\pi$ -решеток локализуются как на границах ячеек (где  $\theta \approx \pi$ ), так и в центрах ячеек (где  $\theta \approx 0$ ). Это связано с тем, что при  $h > 1$  ( $B^* > 0$ ) состояния с  $\theta = \pi/2$  обладают меньшей энергией, чем состояния с  $\theta = 0, \pi$ .

Во всей области существования модулированных структур плотность энергии  $\pi$ -решеток выше, чем плотность энергии геликоидального состояния (рис. 6). Следовательно, термодинамически устойчивым является одномерное пространственно-модулированное состояние. Однако при наличии линейных дефектов возможно возникновение решеток магнитных вихрей. Так, в [42] сообщается об обнаружении решетки магнитных вихрей в  $\text{BiFeO}_3$ .

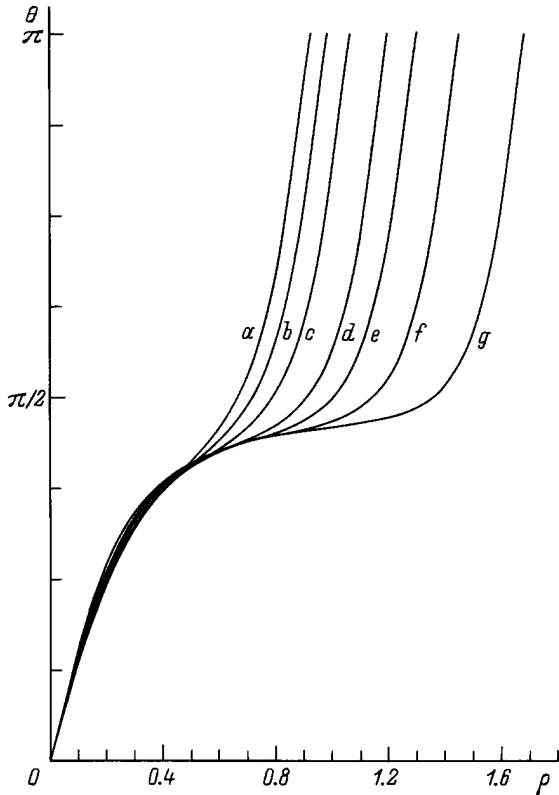
Как и геликоид, решетка магнитных вихрей переходит в однородное состояние путем неограниченного роста периода системы при  $h \rightarrow h_{1,2}$  ( $B^* \rightarrow \pm 1$ ). Ясно, что энергии всех модулированных структур становятся равными при  $h = h_{1,2}$ .

2)  $h < h_1$  ( $B^* < -1$ ). Вид решения в данном случае существенно зависит от

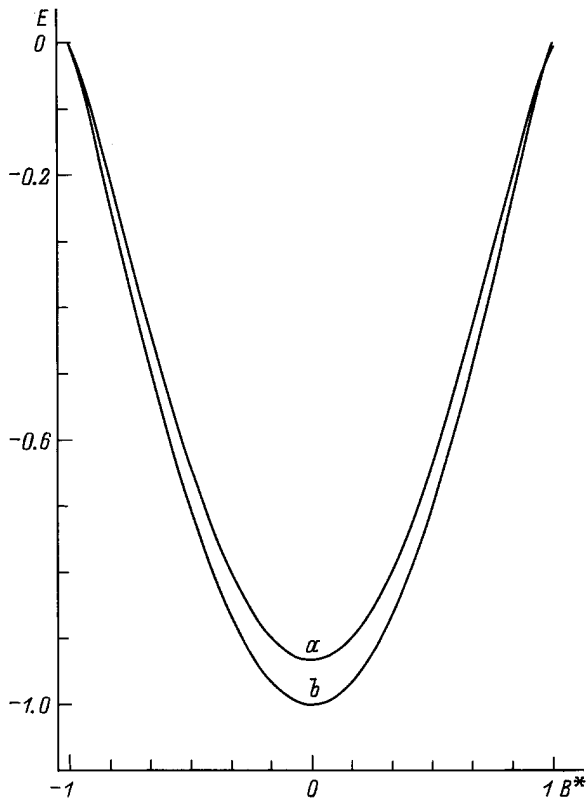
$$a = \left. \frac{d\theta}{d\rho} \right|_{\rho=0}. \tag{16}$$



**Рис. 4.** Равновесные структуры элементарных ячеек решетки магнитных вихрей при  $B^* = 0$  (a),  $0.5$  (b),  $0.7$  (c),  $0.8$  (d),  $0.85$  (e),  $0.9$  (f).



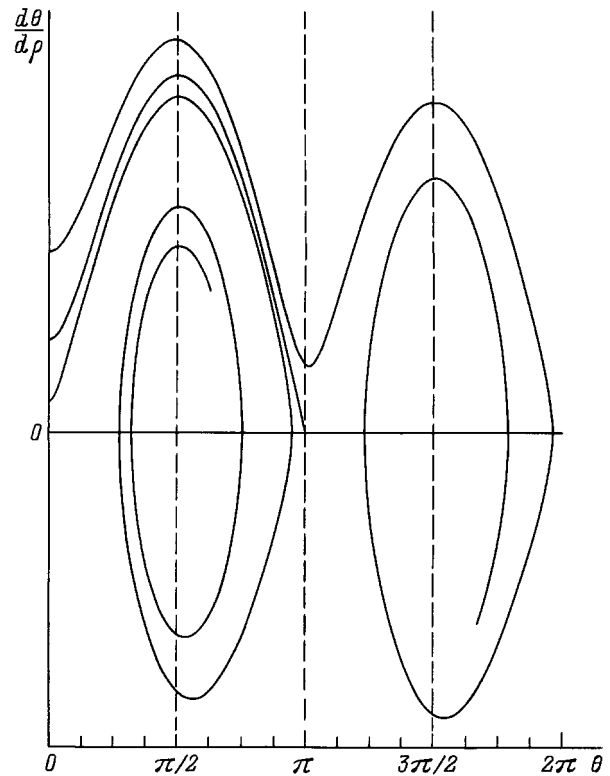
**Рис. 5.** Равновесные структуры элементарных ячеек решетки магнитных вихрей при  $B^* = 0.91$  (a),  $0.93$  (b),  $0.95$  (c),  $0.97$  (d),  $0.98$  (e),  $0.99$  (f),  $0.999$  (g).



**Рис. 6.** Зависимости плотности энергии решетки магнитных вихрей (a) и геликоидальной структуры (b) от параметра  $B^*$ .

На рис. 7 изображены фазовые портреты для нескольких значений параметра  $a$ . Если  $a$  больше некоторого критического значения  $a(h)$ , то решения  $\theta(\rho)$  описывают структуры с конечными радиусами и отличной от нуля производной в конечных точках для граничных условий (11). На фазовой плоскости (рис. 7) этим решениям соответствуют участки тех траекторий, которые заканчиваются в полюсе  $3\pi/2$ . При  $a < a_0$  таких решений не существует. Как уже отмечалось выше, все эти решения не являются устойчивыми. Наконец, при  $a = a_0$  реализуются локализованные решения для граничных условий (11), описывающие изолированные вихри в объеме антиферромагнетика. Фазовый портрет этого решения имеет сепаратрисный характер. На рис. 8 приведены профили локализованных решений для ряда значений поля, меньших  $h_1$  ( $B^* < -1$ ). С удалением от  $h_1$  (уменьшением  $h$ ) резко усиливается локализация вихрей. С приближением к  $h_1$  вихри расширяются; в них начинает формироваться узкая переходная область между ядром с  $\theta = 0$  и внешней областью с  $\theta = \pi$  — ”доменная граница”, и при  $h > h_1$  ( $B^* > -1$ ) локализованных аксиальных структур в антиферромагнетике не существует.

3)  $h > h_2$  ( $B^* > 1$ ). В отличие от случая  $h < h_1$  фазовые портреты решений (рис. 9) имеют полюсы в точках  $(\pi, n)$ ,  $n = 0, 1, 2, \dots$ , а сепаратрисное решение оканчивается в точке  $(\pi/1, 0)$ . Таким образом, при  $h_2 < h$  ( $B^* > 1$ ) реализуются локализованные решения для граничных условий  $\theta(\infty) = \pi/2$ . Иными словами,



**Рис. 7.** Фазовые портреты решений  $\theta(\rho)$  при  $h < h_1$  ( $B^* < -1$ ).

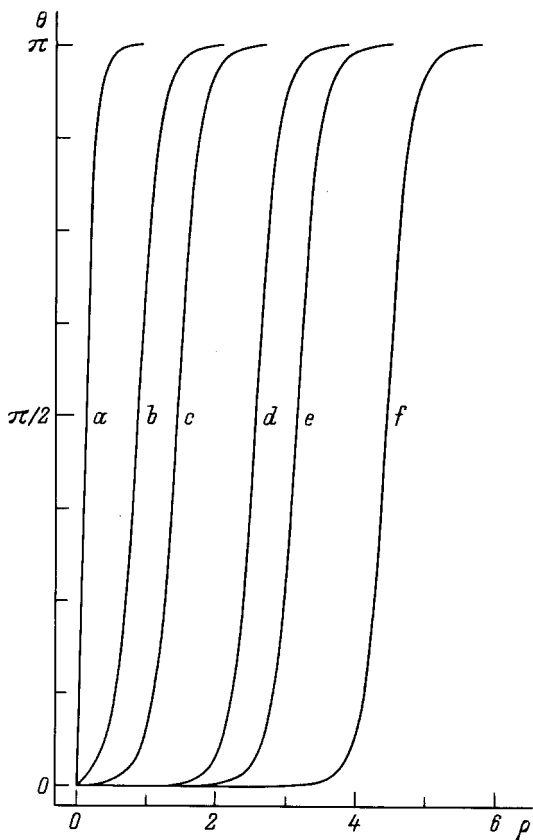


Рис. 8. Уединенные магнитные вихри при  $B^* = -1.5$  (a),  $-1.03$  (b),  $-1.01$  (c),  $-1.003$  (d),  $-1.002$  (e),  $-1.001$  (f).

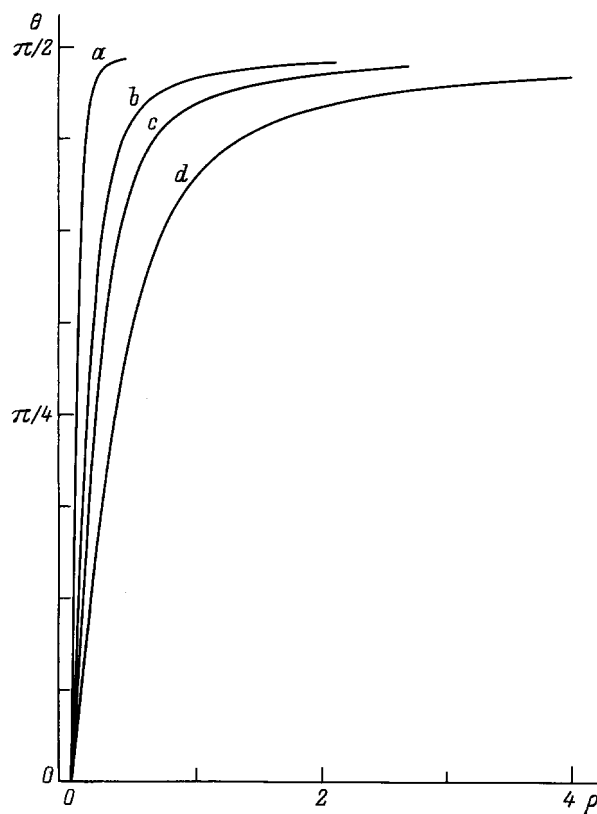


Рис. 10. Уединенные магнитные вихри при  $B^* = 5.0$  (a),  $2.0$  (b),  $1.5$  (c),  $1.01$  (d).

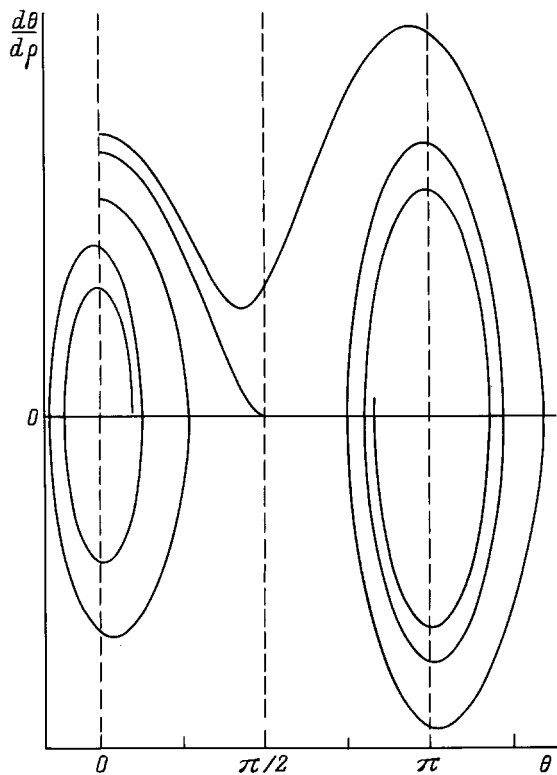


Рис. 9. Фазовые портреты решений  $\theta(\rho)$  при  $h > h_2$  ( $B^* > 1$ ).

при  $h > h_2$  в антиферромагнетике могут существовать вихри с  $\mathbf{l} \parallel \mathbf{OZ}$  в центре вихря и  $\mathbf{l} \perp \mathbf{OZ}$  при  $\rho \rightarrow \infty$ . Отметим, что в данном случае состояние с  $\theta = 0$  в центре вихря не является энергетически выгодным. Профили вихрей при  $h > h_2$  приведены на рис. 10.

Таким образом, в одноосных антиферромагнетиках без центра инверсии возможно существование двумерных пространственно-модулированных структур (магнитных вихрей) как метастабильных состояний. При  $h < h_1$  могут существовать локализованные вихри с  $\theta = 0$  в центре вихря и  $\theta = \pi$  вдали от центра. С приближением к  $h_1$  вихри расширяются, в них начинает формироваться узкая переходная область между ядром с  $\theta = 0$  и внешней областью с  $\theta = \pi$  — "доменная граница" (рис. 8), и при  $h = h_1$  локализованные аксиальные структуры в антиферромагнетике исчезают и возникает решетка магнитных вихрей. При  $h$ , близких к  $h_1$ , существует узкая переходная область между состояниями с  $\theta = 0$  и  $\theta = \pi$  (рис. 2). С ростом поля профили вихрей становятся более пологими (рис. 3, 4), и при  $h \approx 0.7-0.9$  в области  $\theta = \pi/2$  начинает формироваться "полочка" (рис. 5). Далее, при  $h \rightarrow h_2$ , размеры ячеек быстро растут, и при  $h = h_2$  снова возникают локализованные решения — уединенные вихри. Однако при  $h > h_2$  в отличие от случая  $h < h_1$   $\theta(\infty) = \pi/2$ .

## Кубические антиферромагнетики

Как уже отмечалось выше, модулированные структуры могут существовать не только в одноосных, но и в кубических антиферромагнетиках без центра инверсии.

Для кубических антиферромагнетиков неравновесный термодинамический потенциал с точностью до членов, квадратичных по компонентам векторов  $\mathbf{m}$  и  $\mathbf{l}$ , совпадает с (1), однако выражения для  $w_0$  и  $w_d$  имеют несколько иной вид. Так, для кристаллографических классов  $O$  и  $T$  выражения для  $w_d$  можно записать в следующем виде:

$$w_d = DM_0^2 \mathbf{l} \text{rot} \mathbf{l}. \quad (17)$$

Однородную часть энергии для исследуемых кубических антиферромагнетиков можно записать в виде

$$w_0 = M_0^2 [2\lambda m^2 - 2\mathbf{Hm}/M_0]. \quad (18)$$

Отметим, что в данном случае любое отличное от нуля магнитное поле ориентирует магнитные моменты таким образом, чтобы  $\mathbf{H} \perp \mathbf{l}$ . Ограничиваясь случаем  $\mathbf{H} \parallel \mathbf{OZ}$ , можно показать, что

$$w_0 = -\frac{H^2}{2\lambda} \sin^2 \theta, \quad (19)$$

где, как и ранее,  $\theta$  — угол между  $\mathbf{l}$  и  $\mathbf{OZ}$ .

Переходя к сферическим координатам для вектора  $\mathbf{l}$  и цилиндрическим координатам для пространственных переменных, а также имея в виду нахождение осесимметричных решений типа  $\theta = \theta(\rho)$ ,  $\psi = \psi(\varphi)$ , выражение (16) можно записать в виде

$$w_d = D \sin(\psi - \varphi) \left( \frac{\partial \theta}{\partial r} + \frac{\sin \theta \cos \theta}{r} \frac{\partial \psi}{\partial \varphi} \right). \quad (20)$$

Далее аналогично [32] можно получить

$$\psi = \varphi \pm \pi/2. \quad (21)$$

Таким образом, плотность энергии кубического двух-подрешеточного антиферромагнетика (кристаллографические классы  $T$  и  $O$ ) можно записать в виде

$$\frac{\varepsilon}{AM_0^2} = \frac{1}{\pi R^2} \int_0^R \left[ \left( \frac{d\theta}{d\rho} \right)^2 + \frac{\sin^2 \theta}{\rho^2} - 2\pi \left( \frac{d\theta}{d\rho} + \frac{\sin \theta \cos \theta}{\rho} \right) - \frac{\pi^4}{4} h^2 \sin^2 \theta \right] d\rho, \quad (22)$$

где

$$\rho = r/r_0, \quad r_0 = 2\pi A/D, \quad (23)$$

$$h = H/H_c, \quad H_c = \pi^2 \sqrt{\lambda/2}. \quad (24)$$

Отметим, что выражение (22) с точностью до несущественной постоянной совпадает с выражением (10) при  $\theta_0 = \pi/2$ , т.е. кубический магнетик в магнитном поле ведет себя подобно одноосному антиферромагнетику в

полях выше поля спин-флоп-перехода, а именно при  $H < H_c$  возможно существование решетки вихрей, причем плотность энергии геликоидального состояния всегда (в области существования неоднородных структур) ниже плотности энергии решетки магнитных вихрей. С приближением  $H$  к  $H_c$  радиус ячейки быстро растет, и при  $H \rightarrow H_c$   $R \rightarrow \infty$  (рис. 1). При  $H > H_c$  возможно существование уединенных вихрей с  $\mathbf{l} \parallel \mathbf{H}$  в центре вихря и  $\mathbf{l} \perp \mathbf{H}$  вдали от центра.

Таким образом, в работе показано, что в легкоосных и кубических антиферромагнетиках без центра инверсии возможно существование как двумерных пространственно-модулированных структур (решеток магнитных вихрей), так и уединенных двумерных структур (вихрей).

Во всей области существования модулированных структур в легкоосных кубических антиферромагнетиках наряду с одномерной модулированной структурой (геликоидом) возможно существование двумерной пространственно-модулированной структуры (решетки магнитных вихрей) как метастабильного состояния.

В сильных магнитных полях в легкоосных и кубических антиферромагнетиках без центра инверсии могут существовать локализованные аксиальные структуры — уединенные магнитные вихри с  $\theta = 0$  в центре вихря и  $\theta = \pi/2$  вдали от центра.

В слабых магнитных полях в легкоосных антиферромагнетиках могут существовать уединенные магнитные вихри с  $\theta = 0$  в центре вихря и  $\theta = \pi$  вдали от центра.

Авторы благодарят фонд Александра фон Гумбольдта за предоставление вычислительной техники и литературы. Мы глубоко признательны А. Хуберту за обсуждение работы и ценные советы, а также А.С. Ковалеву и С.В. Тарасенко за полезные дискуссии.

## Список литературы

- [1] И.Е. Дзялошинский. ЖЭТФ **46**, 4, 1420 (1964).
- [2] Ю.А. Изюмов. УФН **144**, 3, 449 (1984).
- [3] Ю.А. Изюмов. Дифракция нейтронов на длиннопериодических структурах. Энергоатомиздат, М. (1987). 200 с.
- [4] Y. Ishikawa, K. Tajima, D. Bloch, M. Roth. Solid State Commun. **19**, 15, 525 (1976).
- [5] B. Lebech, J. Bernhard, T. Freltoft. J. Phys.: Condens. Mater. **1**, 6105 (1989).
- [6] J. Beille, J. Voiron, F. Towriq, M. Roth, Z.Y. Zhang. J. Phys. F: Met. Phys. **11**, 2153 (1981).
- [7] J. Beille, J. Voiron, M. Roth, Z.Y. Zhang. Solid State Commun. **43**, 399 (1983).
- [8] H. Watanabe, Y. Tazuke, H. Nakajima. J. Phys. Soc. Jap. **54**, 3978 (1985).
- [9] H. Watanabe. J. Phys. Soc. Jap. **58**, 1035 (1989).
- [10] B. Lebech, P. Harris, J.S. Pedersen, K. Mortensen, C.I. Gregory, N.R. Bernhoeft, M. Jermey, S.A. Brown. J. Magn. Magn. Mater. **140–144**, 119 (1995).
- [11] T. Sato, T. Nemoto, E. Ohta, M. Sakata, T. Sakakibara, T. Goto. J. Magn. Magn. Mater. **70**, 411 (1987).
- [12] T. Sato, T. Anto, T. Oku, M. Furusaka. Phys. Rev. **B49**, 21, 11 864 (1994).

- [13] T. Sato, T. Anto, T. Oku, M. Furusaka. *J. Magn. Magn. Mater.* **140–144**, 1785 (1995).
- [14] A. Zheludev, G. Shirane, Y. Sasago, N. Kiode, K. Uchinokura. *Phys. Rev.* **B54**, 21, 15 163 (1996).
- [15] A. Zheludev, S. Maslov, G. Shirane, Y. Sasago, N. Kiode, K. Uchinokura. *Phys. Rev. Lett.* **78**, 4857 (1997).
- [16] J. Akimitsu, K. Sirotori, G. Shirane, M. Iizumi, T. Watanabe. *J. Phys. Soc. Jap.* **44**, 172 (1978).
- [17] J. Adachi, N. Achiwa, M. Mekata. *J. Phys. Soc. Jap.* **49**, 545 (1980).
- [18] I. Sosnowska, A.K. Zvezdin. *J. Magn. Magn. Mater.* **140–144**, 167 (1995).
- [19] T.M. Giebultovicz, H. Luo, N. Samarth, J.K. Furdyna, J.J. Rhyne. *IEEE Trans. Mag.* **29**, 3383 (1993).
- [20] T.M. Giebultovicz, V. Nunez, H. Luo, N. Samarth, J.K. Furdyna. *J. Appl. Phys.* **73**, 6090 (1993).
- [21] В.Г. Барьяхтар, Е.П. Стефановский. *ФТТ* **11**, 7, 1946 (1969).
- [22] P. Bak, M.H. Jensen. *J. Phys. C: Sol. Stat. Phys.* **13**, L881 (1980).
- [23] O. Nakanishi, A. Yanase, A. Hasegawa, M. Kataoka. *Solid State Commun.* **35**, 995 (1980).
- [24] M. Kataoka, O. Nakanishi. *J. Phys. Soc. Jap.* **50**, 3888 (1981).
- [25] M.L. Plumer, M.B. Walker. *J. Phys. C: Sol. Stat. Phys.* **14**, 4689 (1981).
- [26] M.L. Plumer. *J. Phys.: Condens. Mater.* **2**, 7503 (1981).
- [27] В.А. Головкин, Д.Г. Санников. *ЖЭТФ* **82**, 2, 357 (1982).
- [28] Ю.А. Изюмов, В.М. Лаптев. *ЖЭТФ* **88**, 1, 165 (1985).
- [29] А.Н. Богданов, Д.А. Яблонский. *ЖЭТФ* **96**, 1(7), 253 (1989).
- [30] А.Н. Богданов, М.В. Кудинов, Д.А. Яблонский. *ФТТ* **31**, 10, 99 (1989).
- [31] A. Bogdanov, A. Hubert. *Phys. Stat. Sol. (b)* **186**, 527 (1994).
- [32] A. Bogdanov, A. Hubert. *J. Magn. Magn. Mater.* **138**, 255 (1994).
- [33] А.Н. Богданов. *Письма в ЖЭТФ* **62**, 3, 231 (1995).
- [34] A. Bogdanov, A. Hubert. *J. Appl. Phys.* **79**, 8, 1536 (1996).
- [35] Б.А. Иванов, А.К. Колежук. *ФНТ* **21**, 4, 355 (1995).
- [36] В.Г. Барьяхтар, А.Н. Богданов, Д.А. Яблонский. *УФН* **156**, 1, 47 (1988).
- [37] Е.А. Туров. *Физические свойства магнитоупорядоченных кристаллов*. Изд-во АН СССР, М. (1963). 224 с.
- [38] T. Moriya. *Phys. Rev.* **120**, 1, 91 (1960).
- [39] J.R. Teagyl, R. Gerson, W. James. *Solid State Commun.* **8**, 1973 (1970).
- [40] Ю.Ф. Попов, А.К. Звездин, Г.П. Воробьев, А.М. Кадомцев, В.А. Мурашов, Д.Н. Раков. *Письма в ЖЭТФ* **57**, 1, 65 (1993).
- [41] А. Хуберт. *Теория доменных стенок в упорядоченных средах*. Мир, М. (1972). 308 с.
- [42] М.М. Тегеранчи, Г.А. Есина, Ю.Ф. Попов, А.К. Звездин. *Новые магнитные материалы микроэлектроники. Тез. докл. XV Всерос. школы-семинара (18–21 июня 1996)*. С. 297.